

## • 案例分析 •

# 巨大胎儿横纹肌瘤型肾母细胞瘤 1 例报道并文献复习

裴 薇, 汪鹏刚, 刘 洋, 刘登瑞, 高明太<sup>△</sup>

(兰州大学第一医院小儿外科, 甘肃 兰州 730000)

**[摘要]** 回顾性分析 2020 年 3 月该院收治的 1 例胎儿横纹肌瘤型肾母细胞瘤(FRN)患儿的临床资料, 并在 PubMed、中国知网、万方医学网、维普资讯中文期刊服务平台等数据库中收集 FRN 病例 70 例, 以探讨其临床特点和诊治方法。FRN 是一种预后较好的特殊类型肾母细胞瘤, 对术前化疗、放疗反应欠佳, 确诊后应早期手术, 配合化疗及放疗, 并密切随访。

**[关键词]** 胎儿横纹肌瘤型肾母细胞瘤; 肾母细胞瘤; 儿童; 病例报告

**DOI:** 10.3969/j.issn.1009-5519.2023.08.037

**文章编号:** 1009-5519(2023)08-1433-05

**中图法分类号:** R726.9

**文献标识码:** B

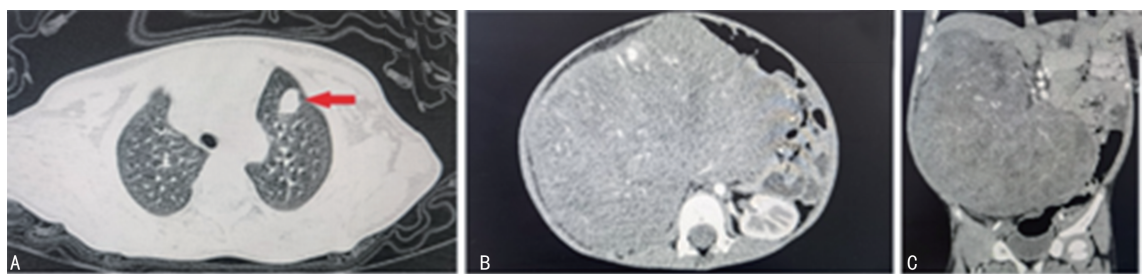
肾母细胞瘤是一种起源于肾胚基细胞的胚胎性恶性肿瘤。好发于儿童, 是儿童最常见的肾脏恶性肿瘤<sup>[1]</sup>。胎儿横纹肌瘤型肾母细胞瘤(FRN)是肾母细胞瘤的一种特殊类型, 组织学上以间叶组织为主, 其临床特点、病理组织形态、生物学特性均有别于典型的肾母细胞瘤。现将本院收治的 1 例 FRN 患儿的临床资料报道如下, 并结合国内外相关文献对此病的诊治进行分析总结。

## 1 临床资料

患儿, 男, 3 岁。因发现腹部肿物 1 个月于 2020 年 3 月收入院。入院时无发热、呕吐、腹痛、肉眼血尿等。入院时查体: 腹部膨隆, 腹壁静脉显露, 未见胃肠型及蠕动波。腹部饱满, 可触及 20 cm×18 cm×15 cm 大小肿物, 质硬, 无明显触痛, 活动度尚可, 无血管杂音。其余腹部无明显压痛, 左侧腹部闻及肠鸣音。入院后辅助检查显示神经元烯醇化酶(NSE)205 ng/mL, 其余血常规、尿常规, 以及肝、肾功能基本正常; 胸部 CT 平扫联合腹部增强 CT 检查: 双肺多发结节, 较大者位于左肺上叶尖段, 大小 1.4 cm×0.9 cm; 腹腔膨隆, 右肾未见明确显示, 右肾区及腹盆腔巨大混杂密度肿块影, 大小 18.9 cm×14 cm×20 cm, 增强不均匀明显, 其内多发斑片状无强化低密度影, 周围组织受压, 局部与肝脏分界不清。见图 1。超声引导右肾肿瘤细针穿刺活检病理检查显示, 送检组织以梭形形成纤维细胞样细胞为主, 其内见少量细胞质丰富、红染的细胞, 似横纹肌细胞。免疫组织化学(免疫组化): vimentin(3+), WT1(-), EMA(-), Desmin(局灶 1+), myoglobin(局灶 1+), NSE(-),

GFAP(-), CD10(-), TFE-3(-), ki67(15%), pax-8(-), ckp(-), bcl-2(-), E-ca(-), CD117(-)。根据病理形态学改变结合免疫组化染色结果, 考虑为右侧 FRN。见图 2A。因患儿为右侧 FRN IV 期, 伴有肝脏浸润、双侧肺部多发转移, 且腹部肿瘤巨大, 与肝脏边界不清, 手术切除具有一定难度, 遂先以卡铂、依托泊苷化疗, 6 周后患儿复查胸部联合腹部 CT 检查见双肺结节影消失, 右肾肿瘤持续增大。见图 3。经化治疗后右肾原发病灶未见减小。为减小肿瘤体积决定为患儿行介入栓塞治疗。经皮右侧股动脉置入导丝, 至右肾动脉主干, 注入微粒球进行栓塞, 共进行 2 次, 间隔 1 个月。第 2 次介入治疗后 1 个月复查 CT, 右肾肿瘤内部部分液化、钙化, 包膜增厚, 肿瘤体积仍无变化, 并有横向增长趋势。见图 4。介入栓塞治疗后瘤体包膜纤维化, 包膜厚度增加, 有利于肿瘤与周围组织游离。第 2 次介入治疗后 2 个月综合评估患儿一般情况后进行手术治疗。术中完整切除瘤肾并行周围淋巴结清扫。术后病理检查显示符合肾母细胞瘤治疗后改变, 可见大量横纹肌样组织及极少许原始胚芽组织, 另见片状坏死及钙化。见图 2B、C。免疫组化: vimentin(1+), WT1(-), EMA(-), Desmin(1+), myoglobin(部分+), NSE(-), GFAP(-), S-100(-), CD10(血管+), TFE-3(-), ki67(局灶 40%), pax-8(-), ckp(-), myogenin(-), bcl-2(灶+), E-ca(-), CD117(散在+), CD34(1+)。术后予以环磷酰胺、依托泊苷、长春新碱、放线菌素 D、表柔比星化疗 25 周, 期间进行放疗(150 cGy, 每周 5 次, 共 15 次)。治疗后患儿恢复良好, 密切随访 1 年, 复查未见肿瘤复发或转移。

<sup>△</sup> 通信作者, E-mail:ldyyewk@163.com。



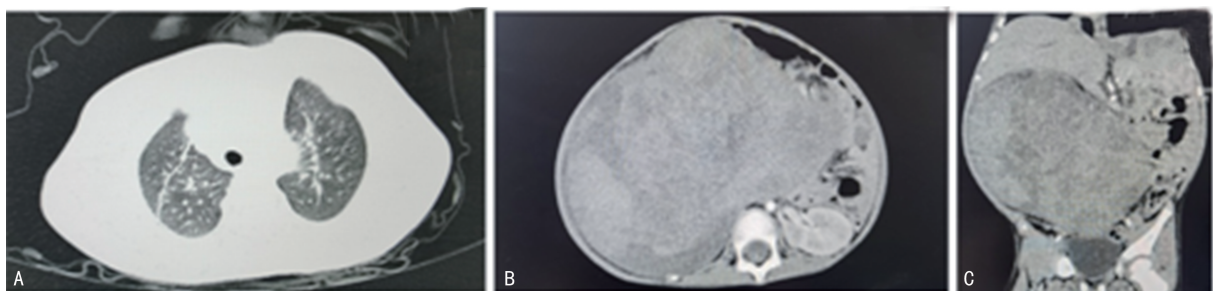
注: A. 胸部 CT 平扫; B. 腹部增强 CT, 横轴位; C. 腹部增强 CT, 冠状位; 红色箭头为左肺上叶尖段转移灶。

图 1 入院时胸部 CT 平扫联合腹部增强 CT 检查



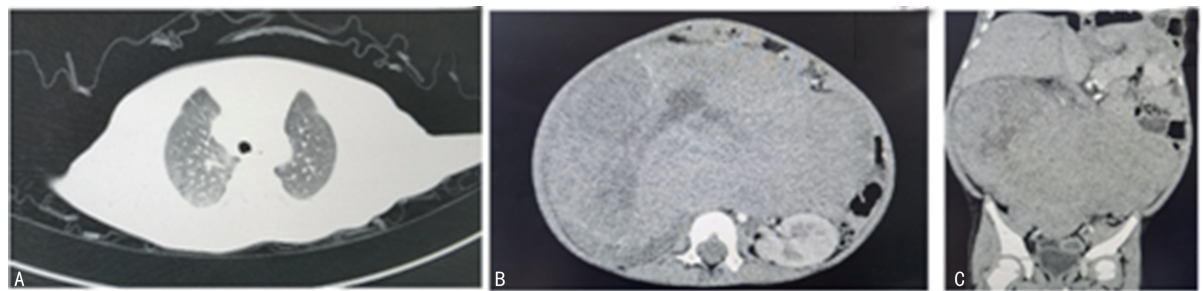
注: A. 超声引导穿刺活检病理图(10×); B. 手术切除肿瘤外观; C. 术后病理检查镜下可见大量横纹肌样组织及极少许原始胚芽组织(10×)。

图 2 手术前后病理检查



注: 左肺上叶尖段转移灶消失; A. 胸部 CT 平扫; B. 腹部增强 CT, 横轴位; C. 腹部增强 CT, 冠状位。

图 3 化疗 6 周后胸部 CT 平扫联合腹部增强 CT 检查



注: 瘤体内部可见液化、钙化, 包膜增厚, 瘤体有横向增长趋势; A. 胸部 CT 平扫; B. 腹部增强 CT, 横轴位; C. 腹部增强 CT, 冠状位。

图 4 第 2 次介入栓塞治疗后胸部 CT 平扫联合腹部增强 CT 检查

## 2 文献检索

以“胎儿横纹肌瘤型肾母细胞瘤”“胎儿横纹肌瘤型 Wilms 瘤”“小儿”“儿童”和“fetal rhabdomyomatous nephroblastoma”“child”作为中英文检索词在 PubMed、中国知网、万方医学网、维普资讯中文期刊

服务平台等数据库中检索相关文献, 纳入年龄小于 18 岁、病例资料相对完整的病例, 排除重复报道的病例。共纳入文献 13 篇<sup>[2-14]</sup>, 收集病例 70 例, 结合本院收治的 1 例, 共 71 例。

71 例病例中男 42 例, 女 28 例, 未注明性别 1 例,

男：女约为 1.5 : 1；年龄 4 月龄至 8 岁，中位年龄 20 月龄；肿瘤位于单侧 36 例，双侧 35 例，双侧中有 5 例一侧为 FRN，另一侧为典型肾母细胞瘤。多数瘤体的体积较大，长径为 1~25 cm，中位长径 14.2 cm。伴先天性结构异常 8 例，其中隐睾 2 例，先天性无虹膜 2 例，尿道下裂 2 例，卵巢不发育 1 例，Perlman 综合征 1 例，其中 1 例先天性无虹膜者同时伴生长发育迟缓。肿瘤分期：I 期 15 例，II 期 5 例，III 期 9 例，IV 期 3 例，

V 期 35 例，4 例未明确分期。明确描述术前治疗（包括放、化疗，介入治疗等）41 例，治疗后肿瘤体积减小 5 例（减小 50% 1 例），肿瘤增大 8 例，其余 28 例体积无变化。有随访记录的 60 例患儿随访时间为 4 个月至 25 年，随访期内因 FRN 死亡 16 例，其中复发 12 例，肺转移 3 例，肾衰竭 1 例；I 期 1 例，III 期 3 例，IV 期 1 例，V 期 11 例，在治疗后 8 个月至 6 年内死亡。见表 1。

表 1 71 例病例一般资料

文献来源	发表年份	n	性别(n)		中位年龄 (月)	肿瘤部位(n)		中位肿瘤 长径(cm)	肿瘤分期(n)				
			男	女		单侧	双侧		I 期	II 期	III 期	IV 期	V 期
本文病例	2022	1	1	0	36	1	0	25	0	0	0	1	0
李振武等 <sup>[14]</sup>	2016	14	8	6	23	8	6	15.5	2	1	5	0	6
伍耀豪等 <sup>[11]</sup>	2011	1	1	0	30	1	0	10	0	0	1	0	0
NAYAK 等 <sup>[6]</sup>	2010	3	1	2	17	1	2	—	1	0	0	0	2
JOSEPH 等 <sup>[7]</sup>	2003	1	0	1	10	0	1	—	0	0	0	0	1
POLLONO 等 <sup>[8]</sup>	2003	14	8	6	27	11	3	13.6	6	1	3	1	3
SHIBATA 等 <sup>[2]</sup>	2002	4	2	2	10	1	3	—	0	0	0	0	3
MEKKI 等 <sup>[4]</sup>	2002	2	1	1	12	2	0	13.5	1	1	0	0	0
ANDERSON 等 <sup>[9]</sup>	2002	11	7	4	19	0	11	—	0	0	0	0	11
ISHIKAWA 等 <sup>[3]</sup>	2001	1	—	—	8	0	1	20	0	0	0	0	1
孙宁等 <sup>[13]</sup>	2000	10	6	4	19	6	4	—	4	2	0	0	4
何乐健等 <sup>[10]</sup>	1998	1	1	0	12	0	1	—	0	0	0	0	1
SABA 等 <sup>[12]</sup>	1998	6	5	1	12	4	2	—	0	0	0	1	2
SCHNEIDER 等 <sup>[5]</sup>	1996	2	1	1	9	1	1	6	1	0	0	0	1

文献来源	转移部位	伴发畸形	术前治疗(n)			术前治疗 有效率(%)	随访情况
			化疗	放疗	介入		
本文病例	双肺	双侧隐睾	1	0	1	肿瘤略增大	随访 1 年未见复发
李振武等 <sup>[14]</sup>	—	—	9	0	0	0	随访 13 例，时间 2~15 年，因 FRN 死亡 3 例
伍耀豪等 <sup>[11]</sup>	—	—	1	0	0	100	随访 4 个月未见复发
NAYAK 等 <sup>[6]</sup>	—	—	0	0	0	—	随访 6 年未见复发
JOSEPH 等 <sup>[7]</sup>	—	—	1	0	0	0	随访 2 年未见复发
POLLONO 等 <sup>[8]</sup>	肺	—	9	1	0	30	随访 14 例，时间 8 个月至 14 年，因 FRN 死亡 5 例
SHIBATA 等 <sup>[2]</sup>	—	隐睾、卵巢不发育	0	0	0	—	—
MEKKI 等 <sup>[4]</sup>	—	—	2	0	0	0	随访 6 年未见复发
ANDERSON 等 <sup>[9]</sup>	—	Perlman 综合征、 尿道下裂	0	0	0	—	随访 11 例，时间 1~12 年，因 FRN 死亡 4 例
ISHIKAWA 等 <sup>[3]</sup>	双肺、肝脏	—	1	0	0	0	—
孙宁等 <sup>[13]</sup>	—	—	8	1	0	0	随访 5 例，时间最长 25 年，因 FRN 死亡 2 例
何乐健等 <sup>[10]</sup>	—	—	0	0	0	—	随访 0.5 年未见复发
SABA 等 <sup>[12]</sup>	肺	—	5	2	0	0	随访期间死亡 2 例
SCHNEIDER 等 <sup>[5]</sup>	—	先天性无虹膜 生长发育迟缓	2	0	0	50	随访 5 年未见复发

注：—表示无此项或无数据。

### 3 讨 论

1976 年 WIGGER<sup>[15]</sup> 报道了 FRN, 此后的文献多为个案报道。FRN 发病率相对较低, 发病年龄较小(年龄 4 月龄至 8 岁, 中位年龄 20 月龄)。据文献报道, 2 岁以下为发病高峰<sup>[7]</sup>。双侧病变者占 40%<sup>[8,13-14]</sup>, 本文 71 例病例中双侧病变者占 49.30% (35/71)。临床表现多为无痛性腹部包块, 少数患儿可出现腹痛、呕吐、血尿等。因起病隐匿, 大多数患儿就诊时肿瘤体积较大。CT 检查可见肾脏占位, 为混杂密度肿块影, 因瘤体巨大, 其内可有斑片状低密度影, 少数有钙化、出血等, 增强 CT 检查可见肿块强化不均匀, 延迟强化, 肾的正常结构消失。术前评估肿瘤无法完全切除的病例可建议行细针穿刺活检, 对明确病理诊断、制定术前治疗计划均具有指导作用<sup>[16-17]</sup>。

FRN 瘤体肉眼观察切面呈灰白色, 质韧, 似子宫肌瘤样, 部分区域呈囊性。镜下观察肿瘤组织为长梭形细胞构成, 呈束状、编织状排列, 大部分为分化好的胎儿横纹肌(比例超过 70%), 肌纹理可见, 含有岛状分布的原始肾胚芽或原始肾小管成分<sup>[14,18]</sup>。免疫组化检查: WT-1(+/-), CK(+), SMA(+), vimentin(+), Desmin(+), myoglobin(+), myogenin(+), 但无特异性标志物<sup>[14]</sup>。

术前放、化疗对 FRN 减容效果欠佳。本文 71 例病例中进行术前治疗 41 例, 仅有 5 例病例肿瘤体积减小[12.20% (5/41)]。SHIBATA 等<sup>[19]</sup> 提出, FRN 患儿可出现 WT1 基因突变, 而 WT1 基因突变者 WT1 免疫组化染色阴性。WT1 功能缺失导致肾母细胞瘤异位肌细胞生成, 提示 WT1 的正常表达可能会阻止后肾间充质干细胞向骨骼肌分化。ROYER-POKORA 等<sup>[20]</sup> 指出, WT1 基因突变的肾母细胞瘤化疗后未见体积减小, 考虑为瘤体中大部分为胎儿横纹肌瘤样组织, 术前化疗可致横纹肌细胞分化而不是细胞凋亡引起。本院收治的病例术前化疗对瘤体体积减小无效, 但肺部转移灶全部缓解。

本院收治的病例因瘤体巨大, 在术前也进行了介入性肾动脉栓塞治疗。应用微粒球对瘤体进行动脉栓塞, 术后瘤体体积仍无明显改变, 复查腹部增强 CT 提示瘤体内部部分片状低密度影及钙化影、包膜增厚。介入性动脉栓塞治疗栓塞肿瘤血管, 使其缺血坏死; 使被栓塞的肾动脉僵硬, 呈条索状, 易于分离, 减少术中出血, 降低术中因挤压瘤体导致肿瘤血行转移的概率; 瘤体包膜纤维化增厚, 包膜完整, 易于剥离,

减少术中肿瘤破裂的机会<sup>[21-23]</sup>。

手术治疗仍为 FRN 的主要治疗手段。对单侧 FRN 患儿可行肾切除术或肿瘤剜除术; 对双侧 FRN 患儿应先对病变小的一侧进行肿瘤剜除术, 待 2~3 周肾功能恢复后再行对侧肿瘤剜除术, 尽可能多地保留肾单位。FRN 被认为是预后较好的特殊类型肾母细胞瘤<sup>[18]</sup>, 术后仍需常规化疗, 有放疗指征者尽量在术后 10 d 内给予放疗<sup>[20]</sup>。尽管 FRN 整体存活率可达 70% 以上<sup>[8,12-13]</sup>, 但双侧 FRN 发生率较高, 本文 71 例病例的死亡病例中双侧患儿占 68.75% (11/16)。因此, 对双侧 FRN 患儿的治疗应更加慎重。FRN 患儿应被重视, 早期发现, 早期治疗, 以期得到更高的存活率。

总之, FRN 是一种预后较好的特殊类型肾母细胞瘤。发病年龄小, 肿瘤体积大, 双侧病变发生率较高, 对术前放、化疗反应欠佳的肾母细胞瘤可考虑为 FRN。细针穿刺活检可在术前确诊, 为后续治疗提供帮助。手术治疗为 FRN 的主要治疗手段, 在条件允许的情况下应早期手术。化疗对原发病灶缓解欠佳, 但通过化疗后转移灶可缓解; 介入治疗后术中可减少瘤体出血及破裂, 有利于瘤体的剔除, 对Ⅲ、Ⅳ 期或肿瘤体积巨大的 FRN 患儿有一定帮助。术后可按预后良好型肾母细胞瘤进行放、化疗, 并密切复查随访有无肿瘤复发及转移。

### 参考文献

- [1] 施诚仁, 金先庆, 李仲智. 小儿外科学 [M]. 4 版. 北京: 人民卫生出版社, 2009: 136.
- [2] SHIBATA R, HASHIGUCHI A, SAKAMOTO J, et al. Correlation between a specific Wilms tumour suppressor gene(WT1) mutation and the histological findings in Wilms tumour (WT) [J]. J Med Genet, 2002, 39(12): e83.
- [3] ISHIKAWA K, TOYODA Y, FUKUZATO Y, et al. Maturation in the primary and metastatic lesions of fetal rhabdomyomatous nephroblastoma [J]. Med Pediatr Oncol, 2001, 37(1): 62-63.
- [4] MEKKI M, BELGHITH M, KRICHÈNE I, et al. Le néphroblastome rhabdomyomateux foetal. A propos de deux cas et revue de la littérature [J]. Ann Urol, 2002, 36(4): 245-249.
- [5] SCHNEIDER P, DROUIN-GARRAUD V, BAC HY B, et al. Aniridie et tumeur de Wilms: Deux

- cas de néphroblastome foetal rhabdomyomateux [J]. Arch Pediatrie, 1996, 3 (12): 1243-1247.
- [6] NAYAK A, IYER V K, AGARWAL S, et al. Fine needle aspiration cytology of fetal rhabdomyomatous and teratoid Wilms tumor [J]. Acta Cytol, 2010, 54(4): 563-568.
- [7] JOSEPH J M, SUTER O C, NENADOV-BECK M, et al. Repeated surgical excision for an unusual variant of nephroblastoma: Case report and review of the literature [J]. J Pediatr Surg, 2003, 38(4): E13.
- [8] POLLONO D, DRUT R, TOMARCHIO S, et al. Fetal rhabdomyomatous nephroblastoma: Report of 14 cases confirming chemotherapy resistance [J]. J Pediatr Hematol Oncol, 2003, 25 (8): 640-643.
- [9] ANDERSON J, SLATER O, MCHUGH K, et al. Response without shrinkage in bilateral Wilms tumor: Significance of rhabdomyomatous histology [J]. J Pediatr Hematol Oncol, 2002, 24(1): 31-34.
- [10] 何乐健, 李佩娟, 周春菊, 等. 双侧胎儿横纹肌瘤型肾母细胞瘤一例 [J]. 中华病理学杂志, 1998, 27(6): 480.
- [11] 伍耀豪, 邓小耿, 张杰, 等. 左侧胎儿横纹肌样肾母细胞瘤 1 例分析 [J]. 实用医学杂志, 2011, 27 (10): 1784.
- [12] SABA L M, DE CAMARGO B, GABRIEL-ARANA M. Experience with six children with fetal rhabdomyomatous nephroblastoma: Review of the clinical, biologic, and pathologic features [J]. Med Pediatr Oncol, 1998, 30(3): 152-155.
- [13] 孙宁, 黄澄如, 张潍平, 等. 胎儿横纹肌瘤型肾母细胞瘤 [J]. 中华小儿外科杂志, 2000, 21(3): 162-164.
- [14] 李振武, 宋宏程, 张潍平, 等. 胎儿横纹肌瘤型肾母细胞瘤的临床、病理特点及诊治分析 [J]. 中华泌尿外科杂志, 2016, 37(8): 591-594.
- [15] WIGGER H J. Fetal rhabdomyomatous nephroblastoma: A variant of Wilms' tumor [J]. Hum Pathol, 1976, 7(6): 613-623.
- [16] 中国抗癌协会小儿肿瘤专业委员会. 儿童肾母细胞瘤诊断治疗建议 (CCCG-WT-2016) [J]. 中华儿科杂志, 2017, 55(2): 90-94.
- [17] KURIAN J J, NONGPIUR K R L, JEHANGIR S. Use of pretherapy core biopsy in the diagnosis of pediatric renal tumors [J]. J Indian Assoc Pediatr Surg, 2018, 23(2): 66-69.
- [18] 杨文萍, 武海燕, 张文, 等. 儿童肾母细胞瘤病理诊断共识 [J]. 中华病理学杂志, 2017, 46(3): 149-154.
- [19] SHIBATA R, TAKATA A, HASHIGUCHI A, et al. Responsiveness of chemotherapy based on the histological type and Wilms' tumor suppressor gene mutation in bilateral Wilms' tumor [J]. Pathol Int, 2010, 53(4): 214-220.
- [20] ROYER-POKORA B, BEIER M, BRANDT A, et al. Chemotherapy and terminal skeletal muscle differentiation in WT1-mutant Wilms tumors [J]. Cancer Med, 2018, 7(4): 1359-1368.
- [21] 李家平, 杨建勇, 李桂生, 等. 肾母细胞瘤手术前介入治疗的疗效评价 [J]. 中华小儿外科杂志, 2002, 23(2): 103-105.
- [22] 李民驹, 周银宝, 黄勇, 等. III、IV 期肾母细胞瘤综合治疗 15 年经验 [J]. 临床小儿外科杂志, 2011, 10(4): 243-246.
- [23] 林隆, 汤宏峰, 李民驹, 等. 肾母细胞瘤介入治疗后的病理学研究 [J]. 临床与实验病理学杂志, 2007, 23(3): 313-316.

(收稿日期: 2022-06-22 修回日期: 2022-12-28)